

**ОДНА ЗАДАЧА ОБ УПРУГОМ РАВНОВЕСИИ
ВЕСОМОЙ ТОЛСТОСТЕННОЙ ПОЛУСФЕРЫ**

В. Ф. БОНДАРЕВА

(Москва)

Задача о равновесии весомого толстостенного полусферического купола, покоящегося на жестком горизонтальном основании, рассматривалась ранее в [1]. Предложенный там общий метод решения основан на необходимости разложения искомых величин в ряды по неортогональным функциям. Ниже задача о весомом куполе сведена к задаче о невесомой толстостенной замкнутой сфере [2]. Решение имеет форму рядов по полиномам Лежандра. Исследованы их сходимость. Приводятся некоторые численные результаты и дается их анализ.

1. Геометрия рассматриваемой задачи ясна из фиг. 1. Исследование проводится в сферической системе координат (r, θ, ϕ) . Обозначения для компонентов вектора перемещения и напряжений те же, что и в [2].

Частное решение уравнений равновесия, соответствующее массовым силам и удовлетворяющее условиям $u_r = 0, \tau_{r\theta} = 0$ при $\theta = \pi/2$ имеет вид

$$u = \frac{(1-2v)\rho g}{4(1-v)G} r^2 \cos^2 \theta \times \\ \times (-\cos \theta e_r + \sin \theta e_\theta) \quad (1.1)$$

Здесь ρg — удельный вес материала купола, G — модуль сдвига, v — коэффициент Пуассона, e_r, e_θ — единичные векторы касательных к координатным линиям.

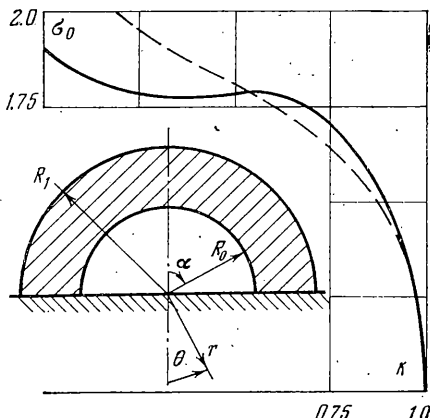
Соответствующие вектору перемещения (1.1) напряжения равны

$$\left. \begin{aligned} \sigma_r \\ \sigma_\theta \end{aligned} \right\} = -\frac{\rho gr}{1-v} \cos \theta \left[(1-2v) \frac{\cos^2 \theta}{\sin^2 \theta} + v \right] \\ \sigma_\phi = -\frac{v \rho gr}{1-v} \cos \theta, \quad \tau_{r\theta} = \frac{1-2v}{1-v} \rho gr \cos^2 \theta \sin \theta$$

Это решение оставляет плоским и ненагруженным торец полусферы $\theta = \pi/2$. Вес уравновешен приложенными к ее сферическим поверхностям нормальными и касательными напряжениями.

2. Пусть полусферический купол опирается на гладкое жесткое основание и нагружен только собственным весом.

Очевидно, что решение этой задачи есть сумма построенного выше частного решения и решения задачи о невесомом замкнутом сферическом



Фиг. 1, 2

слое. Последнее решение должно удовлетворять следующим граничным условиям:

$$\sigma_r(R_i, \theta) = -\frac{\rho g R_i}{1-\nu} \cos \theta [(1-2\nu) \cos^2 \theta + \nu] \quad \left(0 \leq \theta \leq \frac{\pi}{2} \right) \quad (2.1)$$

$$\tau_{r\theta}(R_i, \theta) = \frac{1-2\nu}{1-\nu} \rho g R_i \cos^2 \theta \sin \theta \quad (i=0,1)$$

$$\sigma_r(R_i, \pi-\theta) = \sigma_r(R_i, \theta), \quad \tau_{r\theta}(R_i, \pi-\theta) = -\tau_{r\theta}(R_i, \theta)$$

Общее решение задачи о толстостенной замкнутой сфере известно [2]. В соответствии с [2] для перемещений имеем

$$2Gu_r = \sum_{n=0}^{\infty} \left[R_1 A_n (n+1) (n-2+4\nu) \left(\frac{r}{R_1} \right)^{n+1} + R_1 B_n n \left(\frac{r}{R_1} \right)^{n-1} + \right. \\ \left. + R_0 C_n n (n+3-4\nu) \left(\frac{R_0}{r} \right)^n - R_0 D_n (n+1) \left(\frac{R_0}{r} \right)^{n+2} \right] P_n(\cos \theta) \quad (2.2)$$

$$2Gu_\theta = \sum_{n=1}^{\infty} \left[R_1 A_n (n+5-4\nu) \left(\frac{r}{R_1} \right)^{n+1} + R_1 B_n \left(\frac{r}{R_1} \right)^{n-1} + \right. \\ \left. + R_0 C_n (-n+4-4\nu) \left(\frac{R_0}{r} \right)^n + R_0 D_n \left(\frac{R_0}{r} \right)^{n+2} \right] \frac{dP_n(\cos \theta)}{d\theta}$$

Здесь A_n, B_n, C_n, D_n — произвольные постоянные, $P_n(x)$ — полиномы Лежандра.

Соответствующие этим перемещениям напряжения имеют следующий вид:

$$\sigma_r = \sum_{n=0}^{\infty} \left[a_n \left(\frac{r}{R_1} \right)^n + b_n \left(\frac{r}{R_1} \right)^{n-2} - c_n \left(\frac{R_0}{r} \right)^{n+1} + d_n \left(\frac{R_0}{r} \right)^{n+3} \right] P_n(\cos \theta) \quad (2.3)$$

$$\tau_{r\theta} = \sum_{n=1}^{\infty} \left[a_n \frac{\varepsilon_{1n}}{n+1} \left(\frac{r}{R_1} \right)^n + b_n \frac{1}{n} \left(\frac{r}{R_1} \right)^{n-2} + c_n \frac{\varepsilon_{2n}}{n} \left(\frac{R_0}{r} \right)^{n+1} - \right. \\ \left. - d_n \frac{1}{n+1} \left(\frac{R_0}{r} \right)^{n+3} \right] \frac{dP_n(\cos \theta)}{d\theta}$$

$$\sigma_\theta = - \sum_{n=0}^{\infty} \left[A_n (n^2+4n+2+2\nu) (n+1) \left(\frac{r}{R_1} \right)^n + B_n n^2 \left(\frac{r}{R_1} \right)^{n-2} - \right. \\ \left. - C_n n (n^2-2n-1+2\nu) \left(\frac{R_0}{r} \right)^{n+1} + D_n (n+1)^2 \left(\frac{R_0}{r} \right)^{n+3} \right] P_n(\cos \theta) -$$

$$- \sum_{n=1}^{\infty} \left[A_n (n+5-4\nu) \left(\frac{r}{R_1} \right)^n + B_n \left(\frac{r}{R_1} \right)^{n-2} + C_n (-n+4-4\nu) \left(\frac{R_0}{r} \right)^{n+1} + \right. \\ \left. + D_n \left(\frac{R_0}{r} \right)^{n+3} \right] \frac{dP_n(\cos \theta)}{d\theta} \operatorname{ctg} \theta$$

$$\sigma_\varphi = \sum_{n=0}^{\infty} \left[A_n (n+1) (n-2-2\nu+4\nu) \left(\frac{r}{R_1} \right)^n + B_n n \left(\frac{r}{R_1} \right)^{n-2} + \right]$$

$$\begin{aligned}
& + C_n n(n+3-4vn-2v) \left(\frac{R_0}{r} \right)^{n+1} - D_n(n+1) \left(\frac{R_0}{r} \right)^{n+3} \Big] P_n(\cos \theta) + \\
& + \sum_{n=1}^{\infty} \left[A_n(n+5-4v) \left(\frac{r}{R_1} \right)^n + B_n \left(\frac{r}{R_1} \right)^{n-2} + C_n(-n+4-4v) \left(\frac{R_0}{r} \right)^{n+1} \right. \\
& \quad \left. + D_n \left(\frac{R_0}{r} \right)^{n+3} \right] \frac{dP_n(\cos \theta)}{d\theta} \operatorname{ctg} \theta \\
a_n & = A_n(n+1)(n^2-n-2-2v), \quad b_n = B_n n(n-1) \\
c_n & = C_n n(n^2+3n-2v), \quad d_n = D_n(n+1)(n+2) \quad (n \neq 0) \\
e_{1n} & = \frac{n^2+2n-1+2v}{n^2-n-2-2v}, \quad e_{2n} = \frac{n^2-2+2v}{n^2+3n-2v}
\end{aligned}$$

Без ограничения общности можно принять $B_0=b_0=C_0=c_0=0$.

Для решения краевой задачи (2.1) разложим граничные значения напряжений на сферических поверхностях $r=R_i$ в ряды по полиномам Лежандра

$$\begin{aligned}
\sigma_r(R_i, \theta) &= \sum_{n=0}^{\infty} \sigma_n^{(i)} P_n(\cos \theta), \quad \tau_{r\theta}(R_i, \theta) = \sum_{n=1}^{\infty} \tau_n^{(i)} \frac{dP_n(\cos \theta)}{d\theta} \\
\sigma_n^{(i)} &= \frac{2n+1}{2} \int_0^{\pi} \sigma_r(R_i, \theta) P_n(\cos \theta) \sin \theta d\theta \\
\tau_n^{(i)} &= \frac{2n+1}{2n(n+1)} \int_0^{\pi} \tau_{r\theta}(R_i, \theta) \frac{dP_n(\cos \theta)}{d\theta} \sin \theta d\theta
\end{aligned} \tag{2.4}$$

В силу симметрии задачи относительно экваториальной плоскости имеем

$$\begin{aligned}
\sigma_n^{(i)} &= \frac{2n+1}{2} [1+(-1)^n] \int_0^{\pi/2} \sigma_r(R_i, \theta) P_n(\cos \theta) \sin \theta d\theta \\
\tau_n^{(i)} &= \frac{2n+1}{2n(n+1)} [1+(-1)^n] \int_0^{\pi/2} \tau_{r\theta}(R_i, \theta) \frac{dP_n(\cos \theta)}{d\theta} \sin \theta d\theta
\end{aligned} \tag{2.5}$$

Как и следовало ожидать, нечетные коэффициенты в рядах (2.4) равны нулю.

Выполним интегрирование в (2.5). Для этого выразим граничные значения (2.1) через полиномы Лежандра

$$\begin{aligned}
\sigma_r(R_i, \theta) &= -\frac{\rho g R_i}{5(1-v)} [(3-v)P_1(\cos \theta) + 2(1-2v)P_3(\cos \theta)] \\
\tau_{r\theta}(R_i, \theta) &= -\frac{(1-2v)\rho g R_i}{15(1-v)} \frac{d}{d\theta} [3P_1(\cos \theta) + 2P_3(\cos \theta)]
\end{aligned}$$

Используем известную формулу [3]:

$$J_{mn} = \int_0^{\pi/2} P_m(\cos \theta) P_n(\cos \theta) \sin \theta d\theta =$$

$$= \frac{(-1)^{(m+n+1)/2} m! n!}{2^{m+n-1} (n-m) (m+n+1) \{ (n/2)! [(m-1)/2]! \}^2} \quad (2.6)$$

а также легко устанавливаемое соотношение

$$\int_0^{\pi/2} \frac{dP_m(\cos \theta)}{d\theta} \frac{dP_n(\cos \theta)}{d\theta} \sin \theta d\theta = n(n+1) J_{mn}$$

В этих формулах m — нечетное, n — четное. Вместо (2.5) получим

$$\begin{aligned} \sigma_n^{(1)} &= \frac{\rho g R_i (2n+1)}{2(1-v)} [1 + (-1)^n] \frac{6-n(n+1)v}{(n-3)(n+4)} J_{1n} \\ \tau_n^{(1)} &= \frac{\rho g R_i (1-2v)}{1-v} (2n+1) \frac{1+(-1)^n}{(n-3)(n+4)} J_{1n} \end{aligned} \quad (2.7)$$

$$\sigma_n^{(0)} = k \sigma_n^{(1)}, \quad \tau_n^{(0)} = k \tau_n^{(1)}, \quad k = R_0/R_i \quad (n=0,1,2,\dots)$$

Сравнивая ряды (2.3) и (2.4) при $r=R_0$ и $r=R_i$, получаем для определения произвольных постоянных следующую систему линейных алгебраических уравнений:

$$\begin{aligned} a_n + b_n - c_n k^{n+1} + d_n k^{n+3} &= \sigma_n^{(1)} \quad (n \neq 0) \\ a_n \frac{\varepsilon_{1n}}{n+1} + b_n \frac{1}{n} + c_n k^{n+1} \frac{\varepsilon_{2n}}{n} - d_n k^{n+3} \frac{1}{n+1} &= \tau_n^{(1)} \\ a_n k^n + b_n k^{n-2} - c_n + d_n &= \sigma_n^{(0)} \\ a_n k^n \frac{\varepsilon_{1n}}{n+1} + b_n k^{n-2} \frac{1}{n} + c_n \frac{\varepsilon_{2n}}{n} - d_n \frac{1}{n+1} &= \tau_n^{(0)} \end{aligned} \quad (2.8)$$

При $n=0$ имеем

$$a_0 = \frac{\sigma_0^{(1)} - k^3 \sigma_0^{(0)}}{1-k^3}, \quad b_0 = c_0 = 0, \quad d_0 = \frac{\sigma_0^{(0)} - \sigma_0^{(1)}}{1-k^3} \quad (2.9)$$

Можно показать, что решение системы (2.8) имеет следующий вид:

$$a_n \Delta = \Delta_1 (1 + \varepsilon_{2n}) k^{n+1} (1 - k^2) + \Delta_2 \left(1 - \frac{n+1}{n} \varepsilon_{2n} \right) (1 - k^{2n-1})$$

$$b_n \Delta = \Delta_3 \left(\varepsilon_{2n} - \frac{n}{n+1} \right) (1 - k^{2n+3}) + \Delta_4 (1 + \varepsilon_{1n}) k^{n+1} (1 - k^2)$$

$$c_n \Delta = \Delta_1 \left(1 - \frac{n}{n+1} \varepsilon_{1n} \right) (1 - k^{2n+3}) - \Delta_2 (1 + \varepsilon_{1n}) k^{n-2} (1 - k^2)$$

$$d_n \Delta = -\Delta_3 (1 + \varepsilon_{2n}) k^{n-2} (1 - k^2) + \Delta_4 \left(\varepsilon_{1n} - \frac{n+1}{n} \right) (1 - k^{2n-1})$$

$$\Delta = (1 + \varepsilon_{1n}) (1 + \varepsilon_{2n}) k^{2n-1} (1 - k^2)^2 + \quad (2.10)$$

$$+ \left(\varepsilon_{1n} - \frac{n+1}{n} \right) \left(\varepsilon_{2n} - \frac{n}{n+1} \right) (1 - k^{2n+3}) (1 - k^{2n-1})$$

$$\Delta_1 = [\sigma_n^{(1)} + (n+1) \tau_n^{(1)}] k^{n-2} - [\sigma_n^{(0)} + (n+1) \tau_n^{(0)}]$$

$$\Delta_2 = [\sigma_n^{(1)} - n \tau_n^{(1)}] - k^{n+3} [\sigma_n^{(0)} - n \tau_n^{(0)}]$$

$$\Delta_3 = [\sigma_n^{(1)} \varepsilon_{1n} - (n+1) \tau_n^{(1)}] - [\sigma_n^{(0)} \varepsilon_{1n} - (n+1) \tau_n^{(0)}] k^{n+1}$$

$$\Delta_4 = [\sigma_n^{(0)} \varepsilon_{2n} + n \tau_n^{(0)}] - [\sigma_n^{(1)} \varepsilon_{2n} + n \tau_n^{(1)}] k^n$$

Отметим, что как система (2.8), (2.9), так и ее решение (2.10) имеют место при любой поверхностной нагрузке: если полусфера кроме веса нагружена дополнительно по сферическим поверхностям $r=R_i$, это отразится лишь на значениях правой части системы, т. е. на коэффициентах $\sigma_n^{(i)}$ и $\tau_n^{(i)}$. Если полусфера нагружена только весом, эти коэффициенты имеют вид (2.7) и Δ_j ($j=1-4$) можно придать следующую форму:

$$\Delta_1 = -[\sigma_n^{(1)} + (n+1) \tau_n^{(1)}] (k - k^{n-2}), \quad \Delta_2 = [\sigma_n^{(1)} - n \tau_n^{(1)}] (1 - k^{n+4}) \quad (2.11)$$

$$\Delta_3 = [\sigma_n^{(1)} \varepsilon_{1n} - (n+1) \tau_n^{(1)}] (1 - k^{n+2}), \quad \Delta_4 = [\sigma_n^{(1)} \varepsilon_{2n} + n \tau_n^{(1)}] (k - k^n)$$

3. Исследуем сходимость рядов (2.2), (2.3). Для определенности остановимся на задаче о полусфере, нагруженной только собственным весом.

Прежде всего выясним асимптотические свойства коэффициентов a_n , b_n , c_n и d_n .

В силу известного соотношения [4]:

$$P_{2k}(0) = \frac{(-1)^k (2k)!}{2^{2k} (k!)^2} \quad (k=0,1,2,\dots)$$

из (2.6) находим

$$J_{1n} = -\frac{P_n(0)}{(n-1)(n+2)} \quad (n=0,2,4,\dots)$$

Подставляя это значение в (2.7), получаем

$$\sigma_n^{(1)} \rightarrow \frac{\rho g R_1}{1-\nu} \frac{2\nu}{n} P_n(0), \quad n \rightarrow \infty$$

$$\tau_n^{(1)} \rightarrow -\frac{\rho g R_1 (1-2\nu)}{1-\nu} \frac{4}{n^3} P_n(0).$$

Имея решение системы (2.8) в явном виде (2.10), (2.11), легко установить, что при $n \rightarrow \infty$

$$\begin{aligned} a_n &\rightarrow -b_n \rightarrow c_n k^{-1} \rightarrow d_n k^{-1} \rightarrow -\frac{n}{2} \sigma_n^{(1)} \rightarrow -\frac{\rho g R_1 \nu}{1-\nu} P_n(0) \\ (a_n + b_n) &\rightarrow (-c_n + d_n) k^{-1} \rightarrow \sigma_n^{(1)} \rightarrow \frac{2 \rho g R_1 \nu}{(1-\nu) n} P_n(0) \end{aligned} \quad (3.1)$$

Докажем сначала сходимость ряда, соответствующего нормальным радиальным напряжениям σ_r . Согласно (2.3), имеем

$$\begin{aligned} \sigma_r &= \frac{\rho g R_1 \nu}{1-\nu} \sum_{n=2}^{\infty} \left\{ - \left[1 - \left(\frac{R_1}{r} \right)^2 \right] (1+\delta_{1n}) \left(\frac{r}{R_1} \right)^n + \right. \\ &+ \frac{2}{n+1} \left(\frac{r}{R_1} \right)^{n-2} (1+\delta_{2n}) + k \left[1 - \left(\frac{R_0}{r} \right)^2 \right] (1+\delta_{3n}) \left(\frac{R_0}{r} \right)^{n+1} + \\ &\left. + \frac{2k}{n+1} \left(\frac{R_0}{r} \right)^{n+3} (1+\delta_{4n}) \right\} P_n(0) P_n(\cos \theta) + a_0 + \left(\frac{R_0}{r} \right)^3 d_0 \end{aligned} \quad (3.2)$$

Здесь введены новые постоянные δ_{in} , такие, что

$$a_n = -\frac{\rho g R_1 v}{1-v} (1+\delta_{1n}) P_n(0), \quad c_n = -\frac{\rho g R_1 v}{1-v} (1+\delta_{3n}) P_n(0) k$$

$$a_n + b_n = 2\rho g R_1 v (1+\delta_{2n}) P_n(0) / [(1-v)(n+1)]$$

$$d_n - c_n = 2k\rho g R_1 v (1+\delta_{4n}) P_n(0) / [(1-v)(n+1)]$$

В силу (2.10) и (3.4) получаем $|d_{in}| \leq d_i/n$ при $n \geq 2$ ($d_i = \text{const}$).

Просуммируем главную часть ряда (3.2), т. е. ряд вида

$$s(x, \theta) = \sum_{n=2}^{\infty} x^n P_n(0) P_n(\cos \theta), \quad x \leq 1$$

Такой ряд встречается при решении задач для сферы [2, 5, 6], его сумма равна

$$s(x, \theta) = \frac{2}{\pi} \frac{K(k)}{h} - 1, \quad h^2 = 1 + x^2 + 2x \sin \theta, \quad k^2 h^2 = 4x \sin \theta$$

Здесь $K(k)$ — полный эллиптический интеграл первого рода. Он имеет логарифмическую особенность при $k=1$ ($x=1, \theta=\pi/2$). Кроме того

$$s(x, \theta) = -1/2 x^2 (1 + 3 \sin^2 \theta) + O(x^3) \quad \text{при } x \rightarrow 0$$

Интегрируя ряд s по x , получаем

$$s_1(x, \theta) = \sum_{n=2}^{\infty} \frac{x^{n+1}}{n+1} P_n(0) P_n(\cos \theta) = (x-1)s(x, \theta) - \int_0^x (x-t) s'_t(x, \theta) dx$$

Подынтегральная функция в последнем интеграле ограничена, и сумма ряда s_1 ограничена всюду в области $0 \leq x \leq 1, 0 \leq \theta \leq \pi$.

Заметим, что ряды

$$s_m(x, \theta) = \sum_{n=2}^{\infty} \frac{x^{n+1}}{(n+1)^m} P_n(0) P_n(\cos \theta), \quad m \geq 1$$

сходятся равномерно, так как мажорируются сходящимся числовым рядом

$$|s_m(x, \theta)| < \sqrt{\frac{2}{\pi}} \sum_{n=2}^{\infty} \frac{e^{1/12n}}{n^{m+1/2}} \quad (0 \leq x \leq 1, 0 \leq \theta \leq \pi)$$

При выводе последнего соотношения использованы неравенства [7]:

$$|P_n(0)| < \sqrt{\frac{2}{\pi n}} e^{1/12n}, \quad |P_n(\cos \theta)| \leq 1$$

Подставляя найденные суммы $s(x, \theta)$ и $s_1(x, \theta)$ в (3.2), убеждаемся, что

$$\begin{aligned} \sigma_r = & \frac{\rho g R_1 v}{1-v} \left\{ - \left(\frac{R_1}{r} \right)^3 \left(1 - \frac{r}{R_1} \right)^2 \left(2 + \frac{r}{R_1} \right) \left[s \left(\frac{r}{R_1}, \theta \right) + \right. \right. \\ & \left. \left. + \frac{1}{2} \left(\frac{r}{R_1} \right)^2 (1 + 3 \sin^2 \theta) \right] + k \frac{R_0}{r} \left(1 - \frac{R_0}{r} \right)^2 s \left(\frac{R_0}{r}, \theta \right) \right\} + f(r, \theta) \end{aligned}$$

где $f(r, \theta)$ — равномерно сходящийся при $R_0 \leq r \leq R_1, 0 \leq \theta \leq \pi$ ряд.

Аналогично можно доказать сходимость рядов, соответствующих остальным напряжениям, а также перемещениям. При этом в рядах, содержащих производную от полиномов Лежандра по θ , следует предварительно выра-

зить ее через полиномы Лежандра по известной формуле [4]:

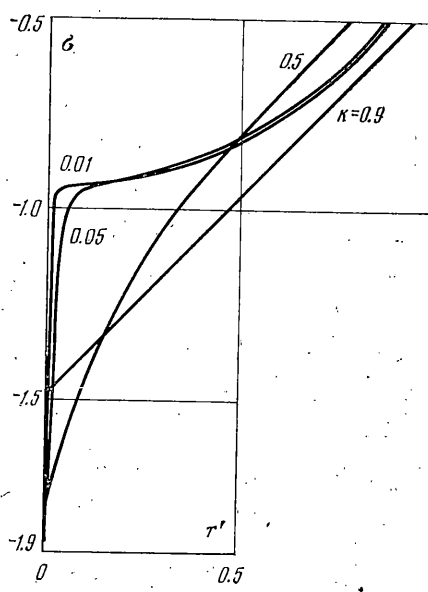
$$\frac{dP_n(x)}{dx} = \frac{n(n+1)}{(2n+1)(x^2-1)} [P_{n+1}(x) - P_{n-1}(x)]$$

4. Приведем некоторые численные результаты, полученные на ЭВМ БЭСМ-4 при $\nu=0.3$.

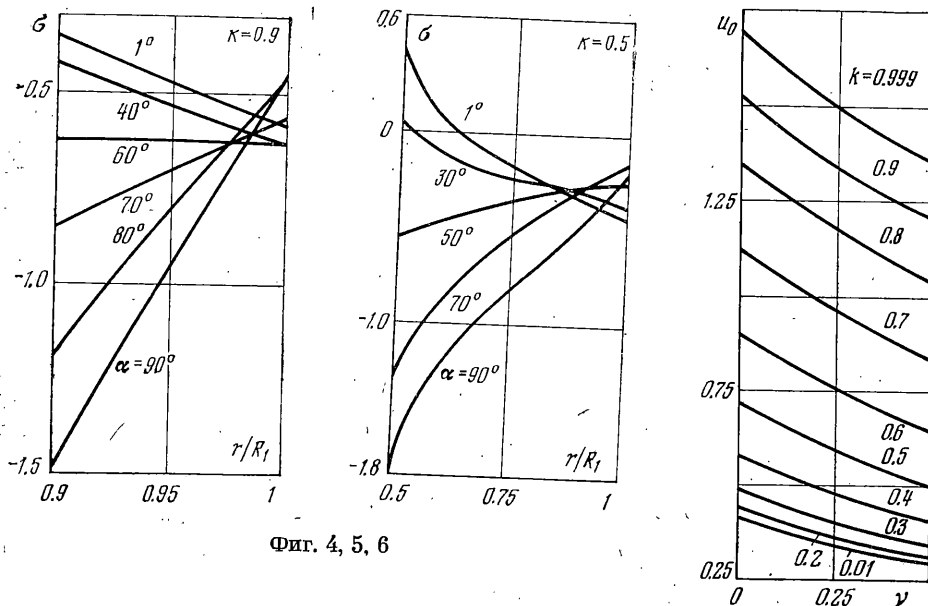
На фиг. 2 представлена зависимость максимальных по модулю контактных напряжений $\sigma_0 = \sigma_0(R_0, \pi/2) / (\rho g R_1)$ от отношения $k=R_0/R_1$. Пунктирные линии на этой фигуре получены в соответствии с приближенным асимптотическим решением теории тонких сферических оболочек [8].

На фиг. 3 представлены распределения контактных напряжений $\sigma = \sigma_0(r, \pi/2) / (\rho g R_1)$ по торцу оболочки для различных значений k , $r^4 = (r-R_0)/(R_1-R_0)^{-1}$. При $k \ll 1$ хорошо видна концентрация напряжений в окрестности малой сферической выточки в центре полусферы. Из графиков следует, что коэффициент концентрации при $k \rightarrow 0$ не превышает двух, а концентрация затухает на расстоянии $\sim 2R_0$ от внутренней поверхности полусферы $r=R_0$.

На фиг. 4, 5 приведены эшюры нормальных к сечениям $\alpha=\pi-\theta=\text{const}$ напряжений $\sigma_0(r, \theta)$ при двух значениях $k=0.9$ и $k=0.5$. Для тонкого полусферического купола ($k=0.9$) распределение нормальных напряжений близко к линейному. С увеличением толщины полусферы линейность нарушается. При обоих



Фиг. 3



Фиг. 4, 5, 6

значениях параметра k сохраняется моментное напряженное состояние в окрестности полюса полусферы.

Отметим, что при вычислении контактных напряжений предварительно была выделена и просуммирована в элементарных функциях главная часть соответствующего ряда. Эпюры на фиг. 4, 5 получены прямым суммированием укороченного ряда, в котором сохранялись лишь первые $n \leq N=20$ членов.

Результаты вычисления перемещений показывают, что максимальными на внешней поверхности полусферы являются вертикальные перемещения ее верхней точки (полюса $r=R_1$, $\theta=\pi$). На фиг. 6 представлена зависимость $u_0=-2Gu_0(R_1, \pi) / (\rho g R_1^2)$ от коэффициента Пуассона ν при различных значениях отношения k .

Аналогичная задача для сплошного весомого полушара без сферической выточки $r=R_0$ допускает замкнутое решение. Оно получено в [9].

Поступила 18 I 1979

ЛИТЕРАТУРА

1. Лурье А. И. Равновесие упругой симметрично нагруженной сферической оболочки. ПММ, 1943, т. 7, вып. 6.
2. Лурье А. И. Пространственные задачи теории упругости. М.-Л., Гостехиздат, 1955.
3. Градштейн И. С., Рыжик И. М. Таблицы интегралов, сумм, рядов и произведений. М., «Наука», 1971.
4. Бейтман Г., Эрдейи А. Высшие трансцендентные функции. М., «Наука», 1966.
5. Бондарева В. Ф. О действии осесимметричной нормальной нагрузки на упругий шар. ПММ, 1969, т. 33, вып. 6.
6. Карпенко В. А. О замкнутом решении первой краевой задачи теории упругости для пространства с шаровой полостью. ПММ, 1975, т. 39, вып. 5.
7. Корн Г. А., Корн Т. Т. Справочник по математике для научных работников и инженеров. М., «Наука», 1974.
8. Тимошенко С. П., Войновский-Кригер С. Пластиинки и оболочки. М., Физматгиз, 1963.
9. Бондарева В. Ф. Контактная задача для весомого полушара. Тр. метролог. ин-та СССР, Всес. н.-и. ин-т физ.-техн. и радиотехн. измерений, М., Изд-во стандартов, 1974, вып. 119 (179).